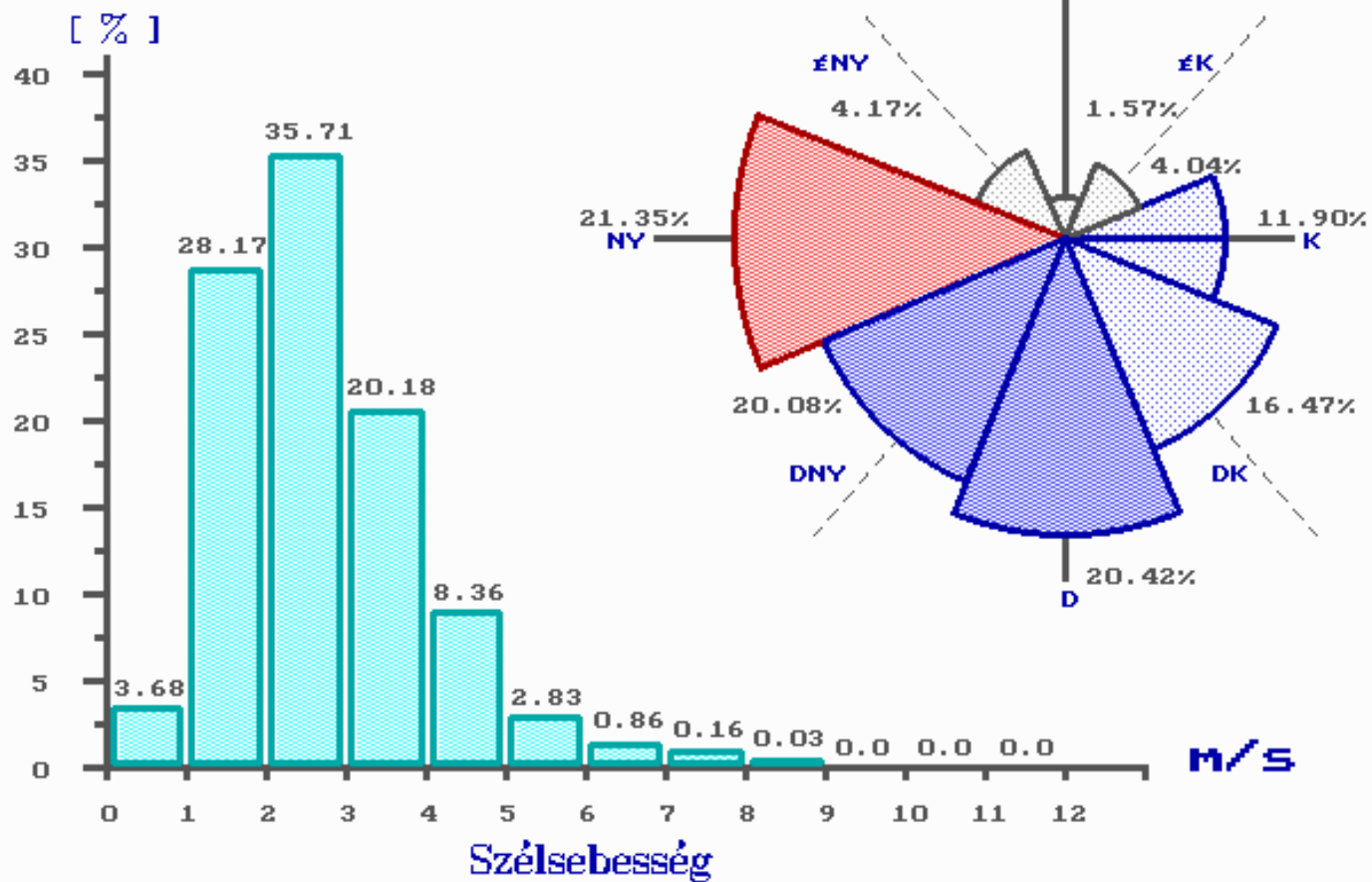
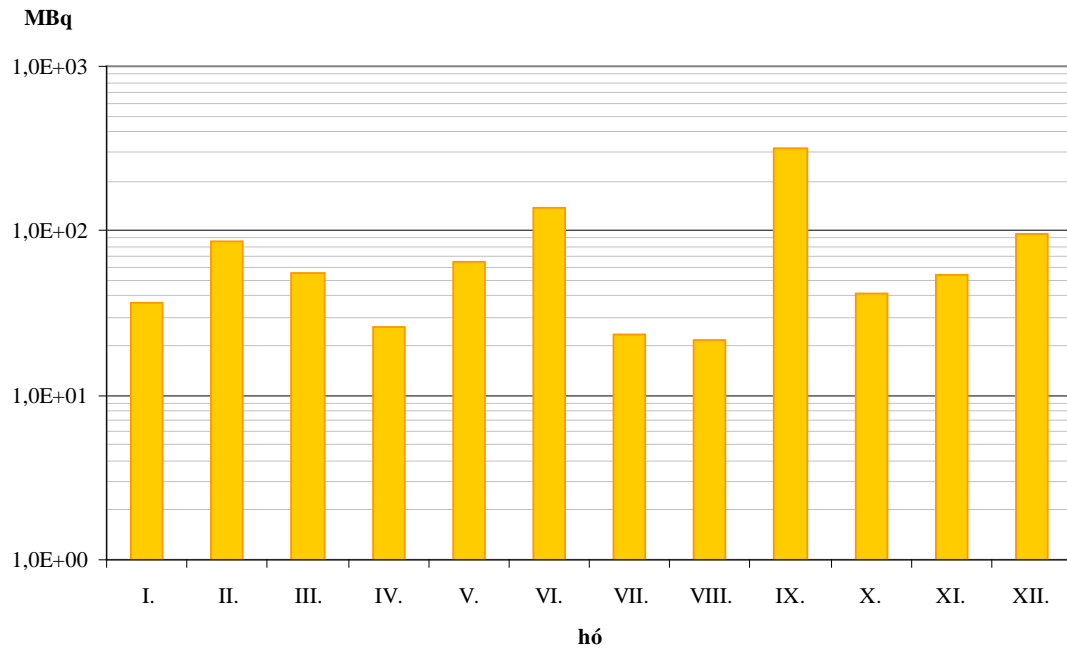


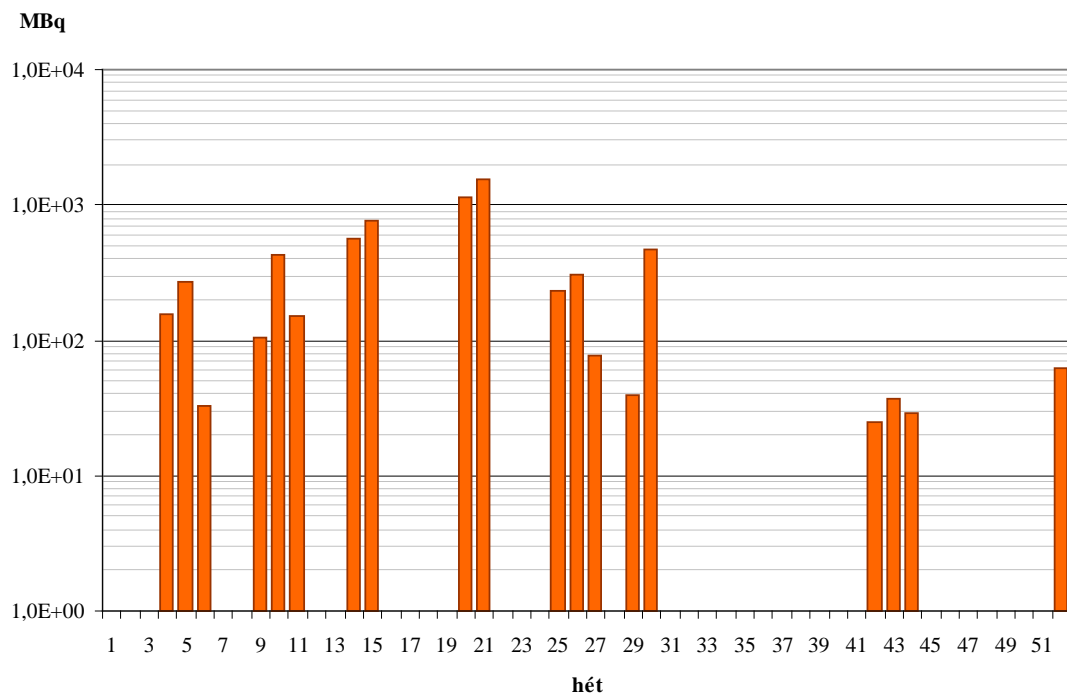
## Szélirány és szélesebbég eloszlás 2009-ben



1. ábra. Szélirány és szélesebbég gyakoriság eloszlása a KFKI telephelyén 2009-ben

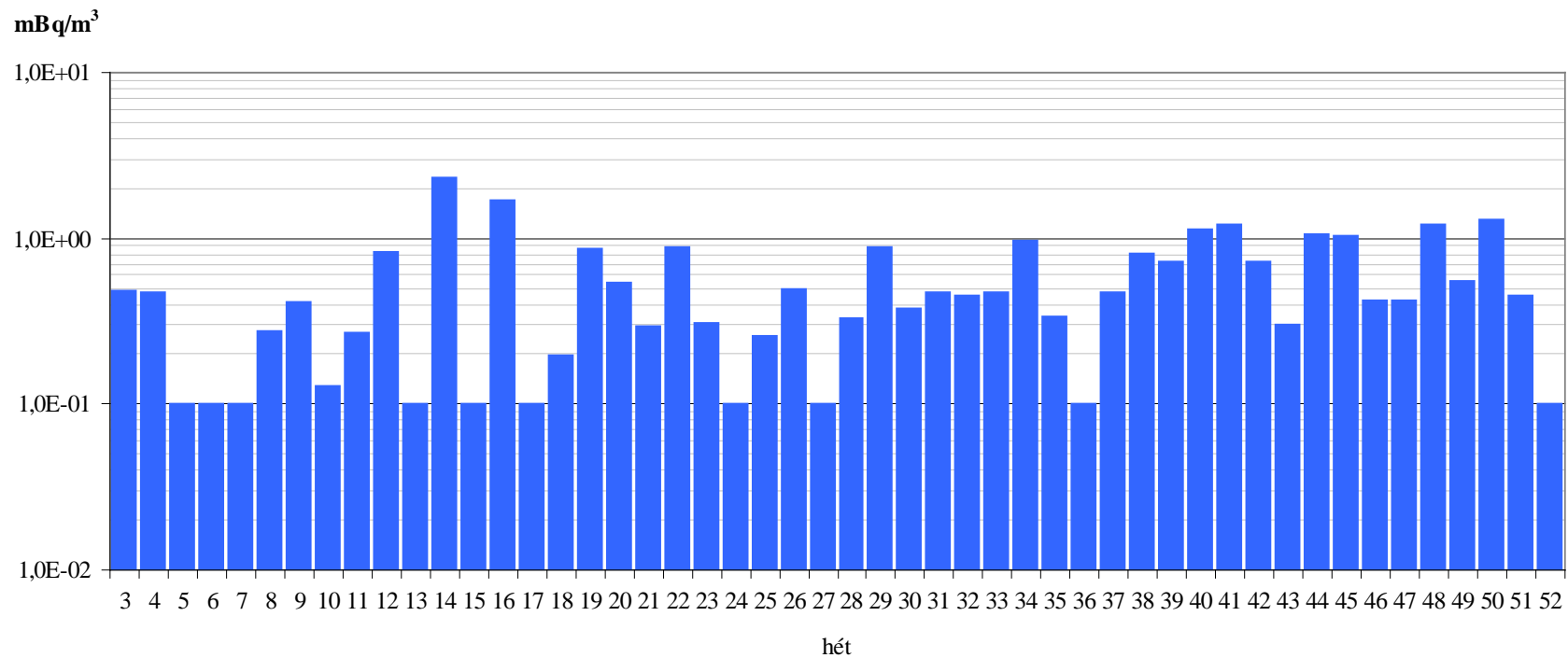


2/a ábra. Az Izotóp Intézet Kft.  $^{125}\text{I}$  kibocsátása havi bontásban

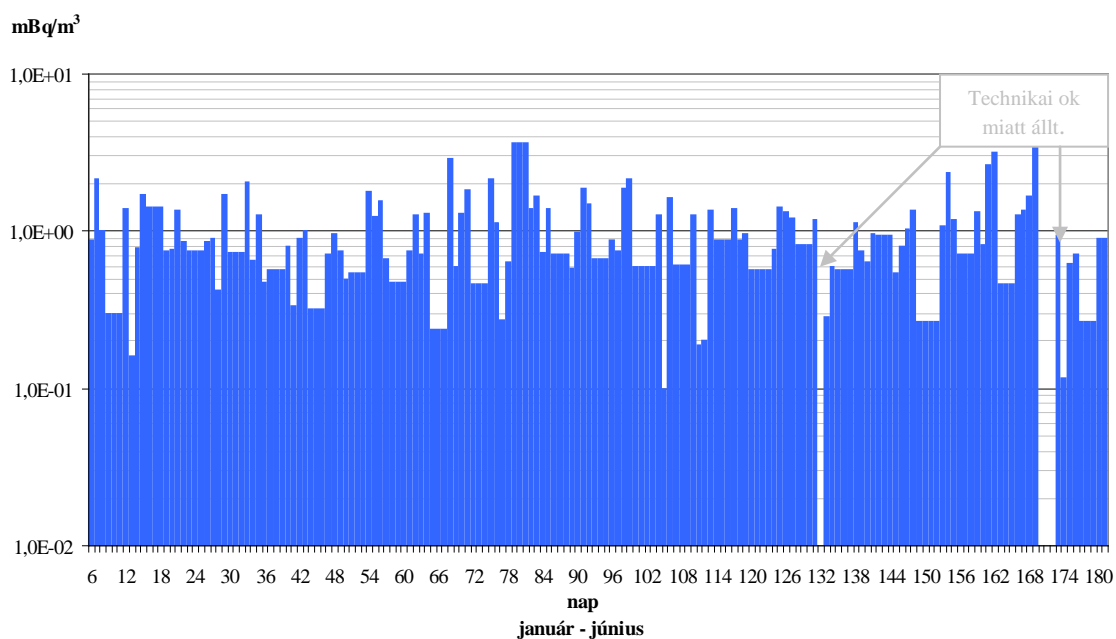


2/b ábra. Az Izotóp Intézet Kft.  $^{131}\text{I}$  kibocsátása heti bontásban

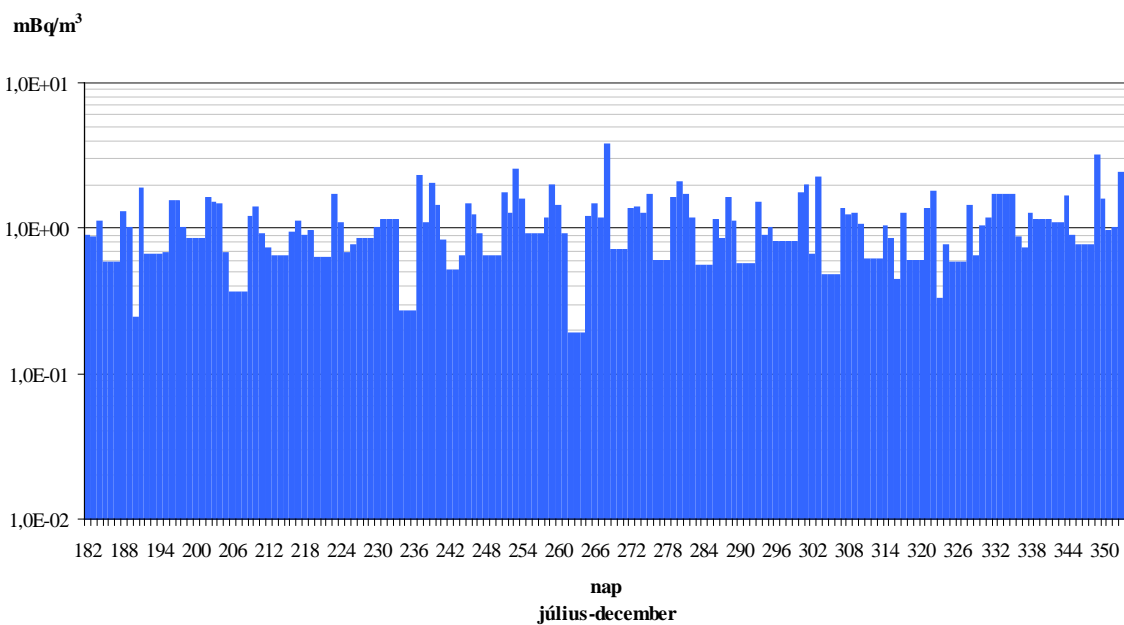
38/67



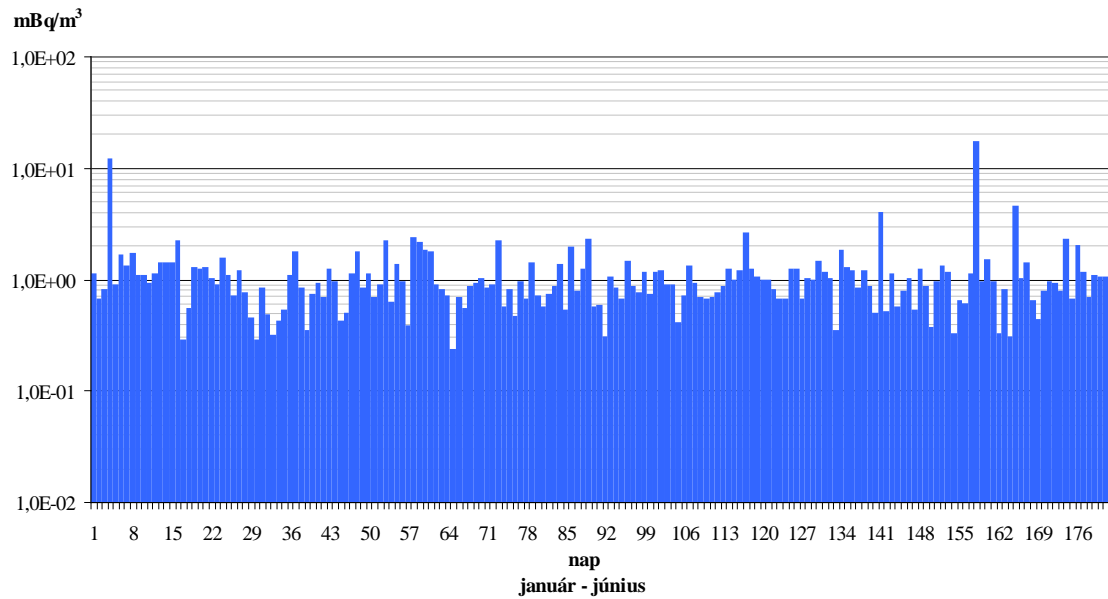
3. ábra. A levegő radioaeroszol összbeta heti átlagos aktivitás-koncentrációja 2009-ben az 1. állomáson (a kimutatási határ 0,1 mBq/m<sup>3</sup>).



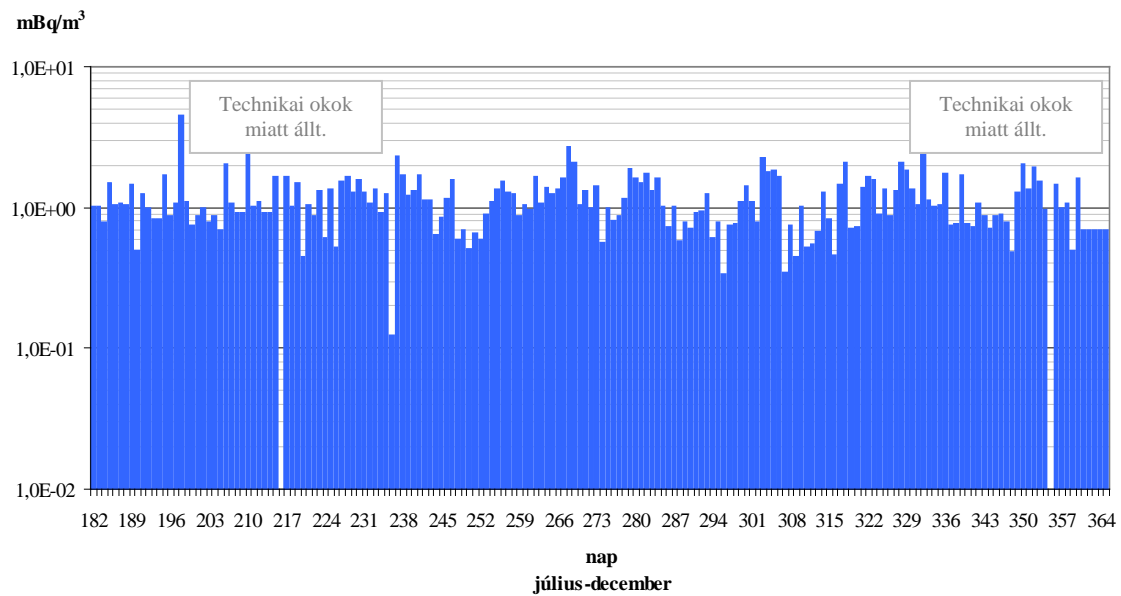
4/a ábra. A levegő radioaeroszol napi átlagos összbéta aktivitás-koncentrációjának alakulása a 2. állomáson.  
(2009. I. félév, a kimutatási határ 0,1 mBq/m<sup>3</sup>)



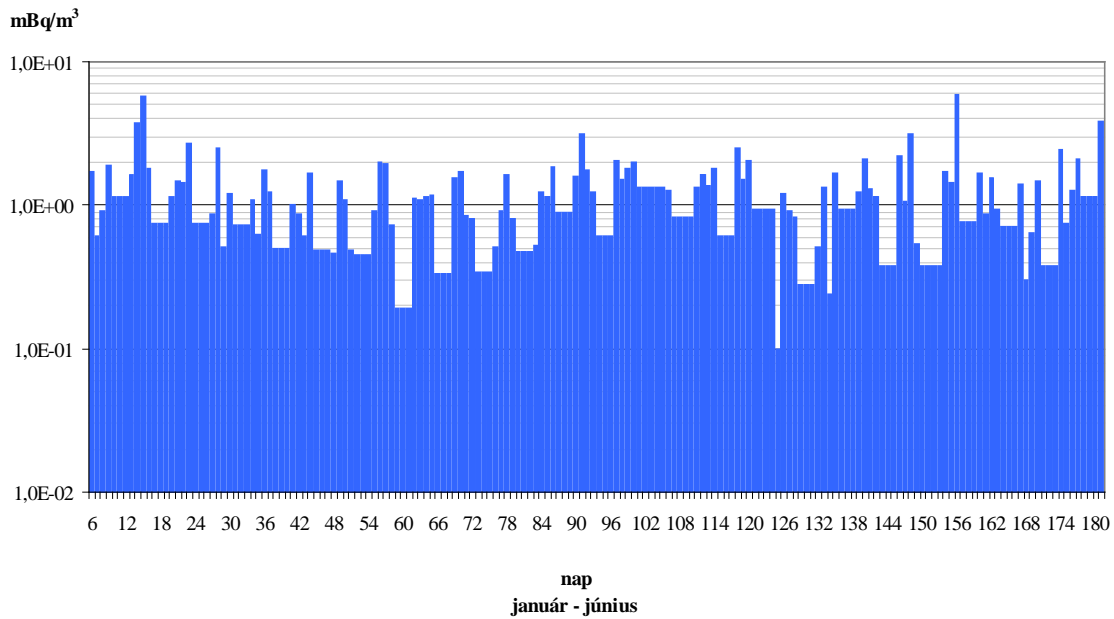
4/b ábra. A levegő radioaeroszol napi átlagos összbéta aktivitás-koncentrációjának alakulása a 2. állomáson.  
(2009. II. félév, a kimutatási határ 0,1 mBq/m<sup>3</sup>)



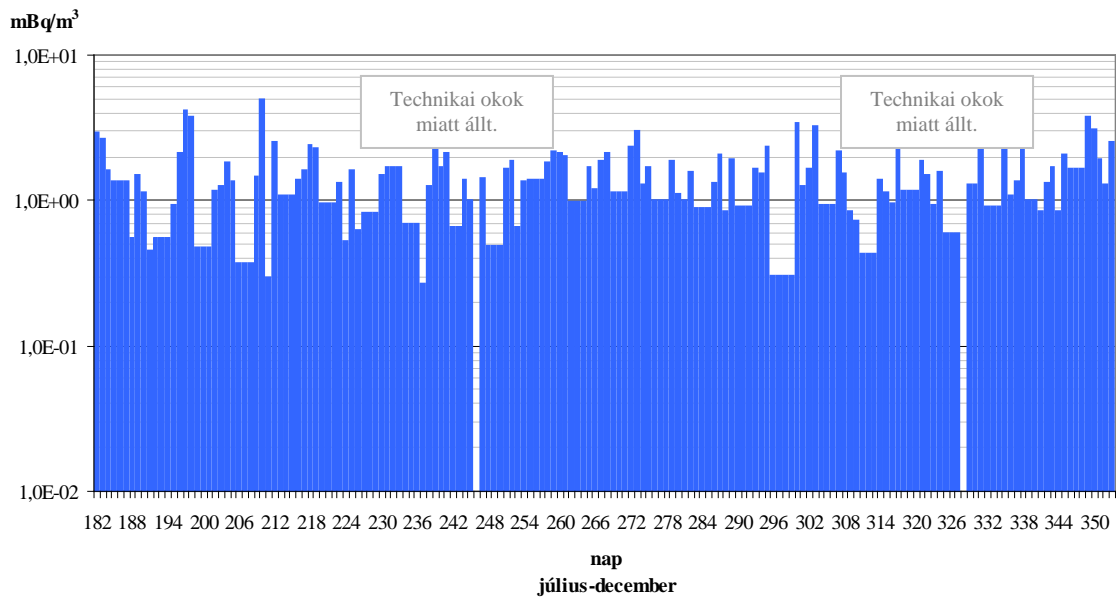
5/a ábra. A levegő radioaeroszol napi átlagos összbeta aktivitás-koncentrációjának alakulása az 5. állomáson.  
(2009. I. félév, a kimutatási határ 0,1 mBq/m<sup>3</sup>)



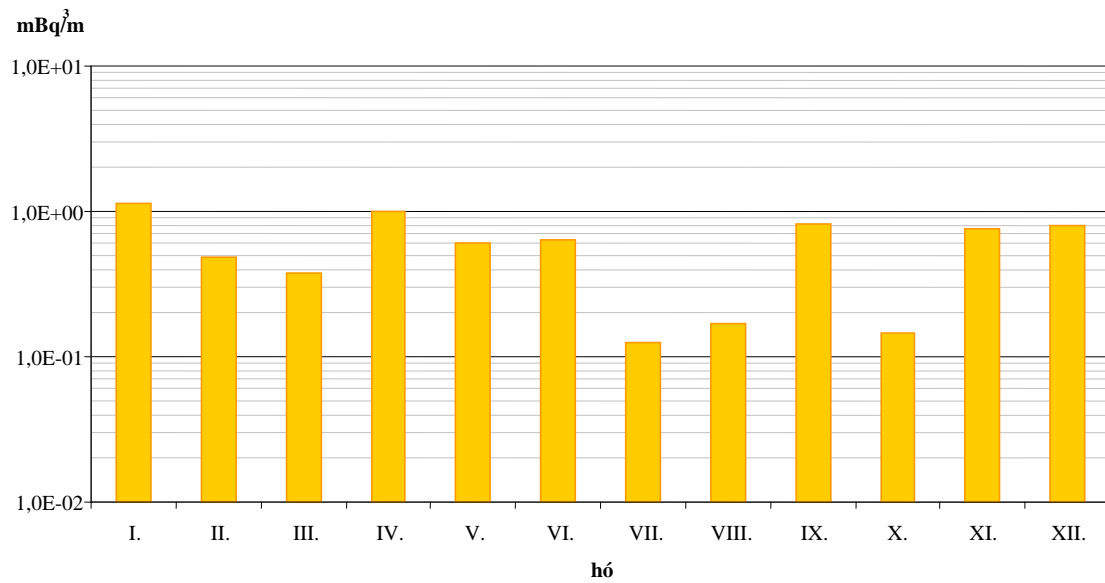
5/b ábra. A levegő radioaeroszol napi átlagos összbeta aktivitás-koncentrációjának alakulása az 5. állomáson.  
(2009. II. félév, a kimutatási határ 0,1 mBq/m<sup>3</sup>)



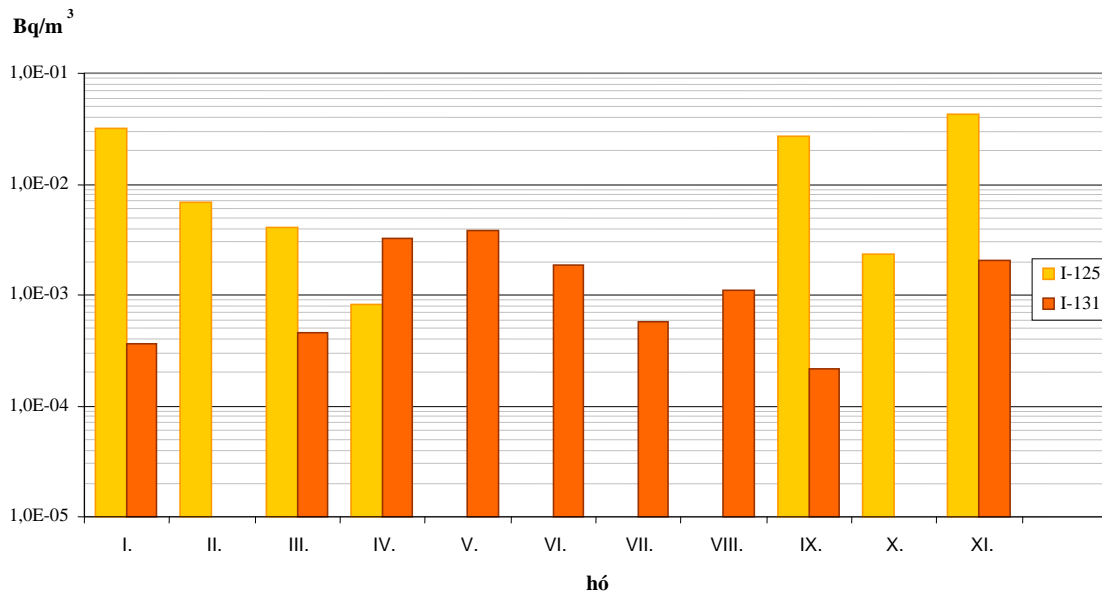
6/a ábra. A levegő radioaeroszol napi átlagos összbéta aktivitás-koncentrációjának alakulása a 6. állomáson.  
(2009. I. félév, a kimutatási határ 0,1 mBq/m<sup>3</sup>)



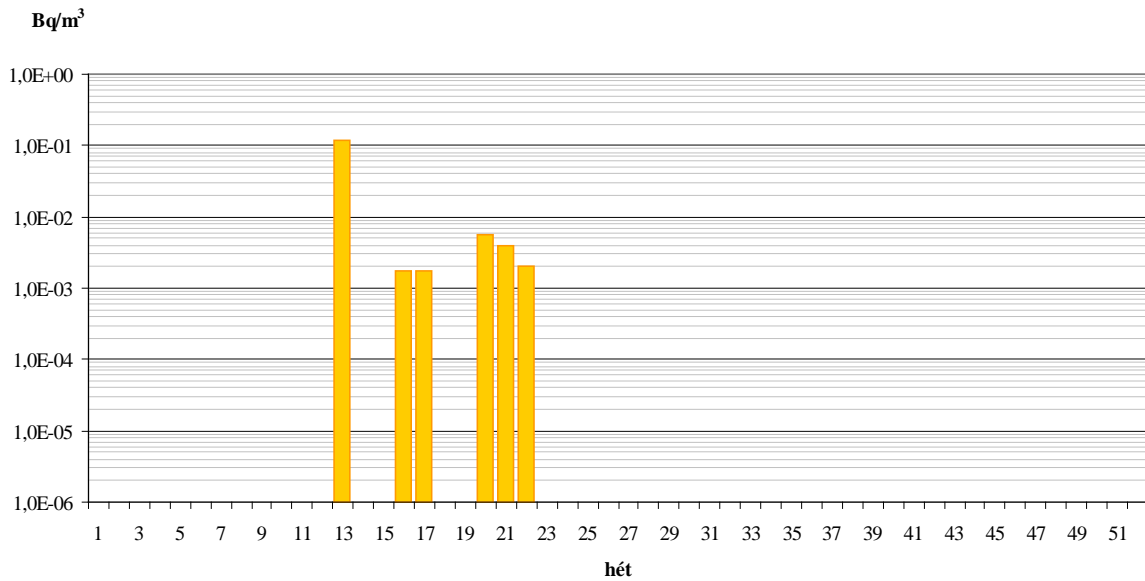
6/b ábra. A levegő radioaeroszol napi átlagos összbéta aktivitás-koncentrációjának alakulása a 6. állomáson.  
(2009. II. félév, a kimutatási határ 0,1 mBq/m<sup>3</sup>)



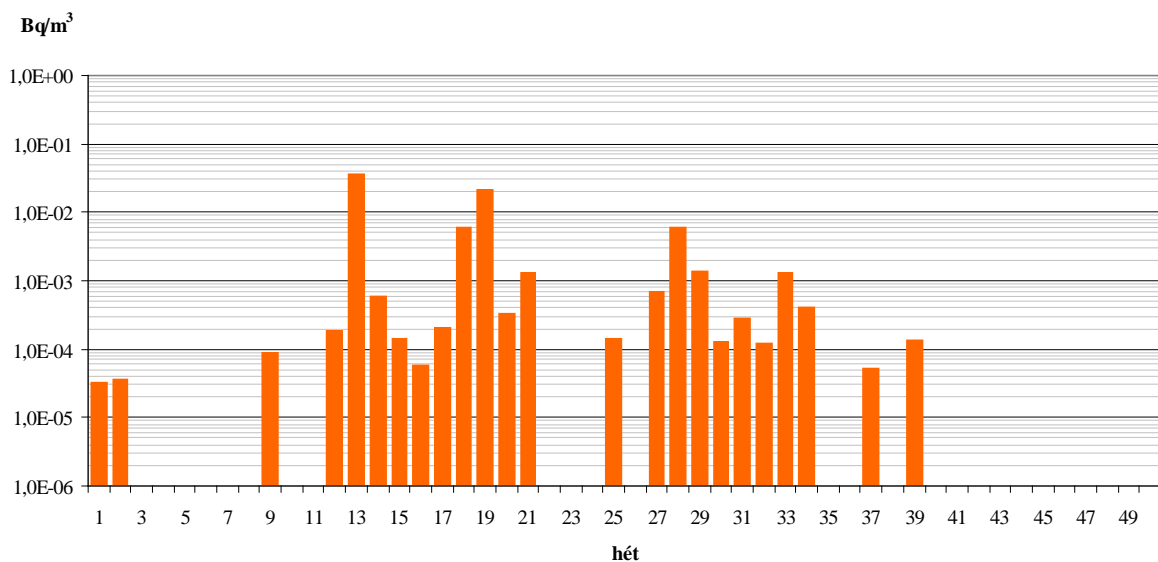
7/a ábra. A levegő radio-jódgőz (elemi) havi átlagos összbeta aktivitás-koncentrációjának alakulása 2009-ban a 6. állomáson (kimutatási határ 0,1 mBq/m<sup>3</sup>).



7/b ábra. A levegő szerves jódgőz aktivitás havi nuklidspecifikus átlagos koncentrációja 2009-ban a 6. állomáson.

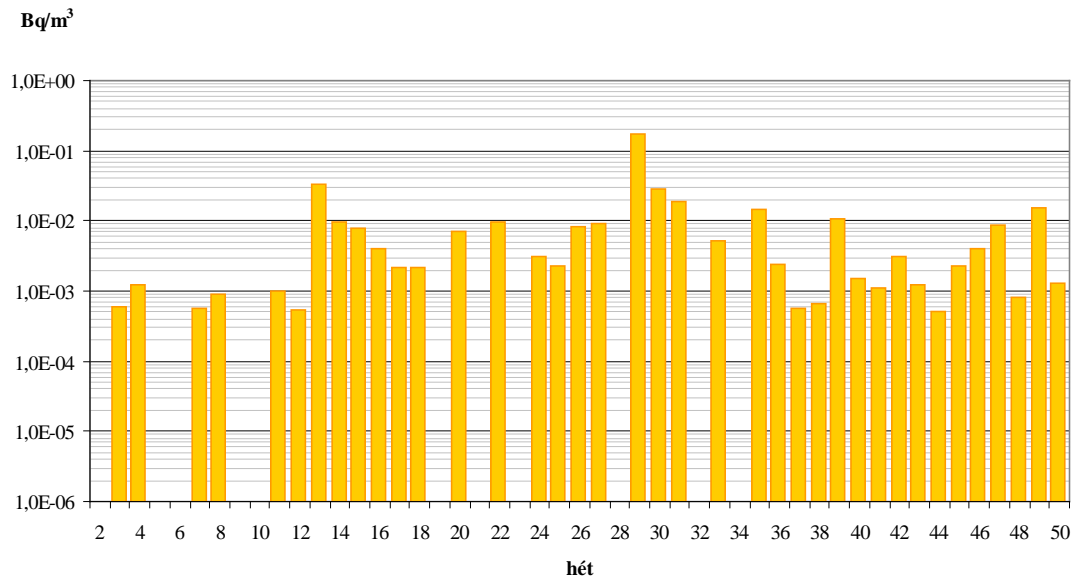


8/a ábra. A levegő  $^{125}\text{I}$  (elemi + szerves fázis) tartalma *szénszűrős nagytérfogatú* (~10.000 m<sup>3</sup>/hét) mintavételezéssel az **1. állomáson** (a kimutatási határ 200  $\mu\text{Bq}/\text{m}^3$ )

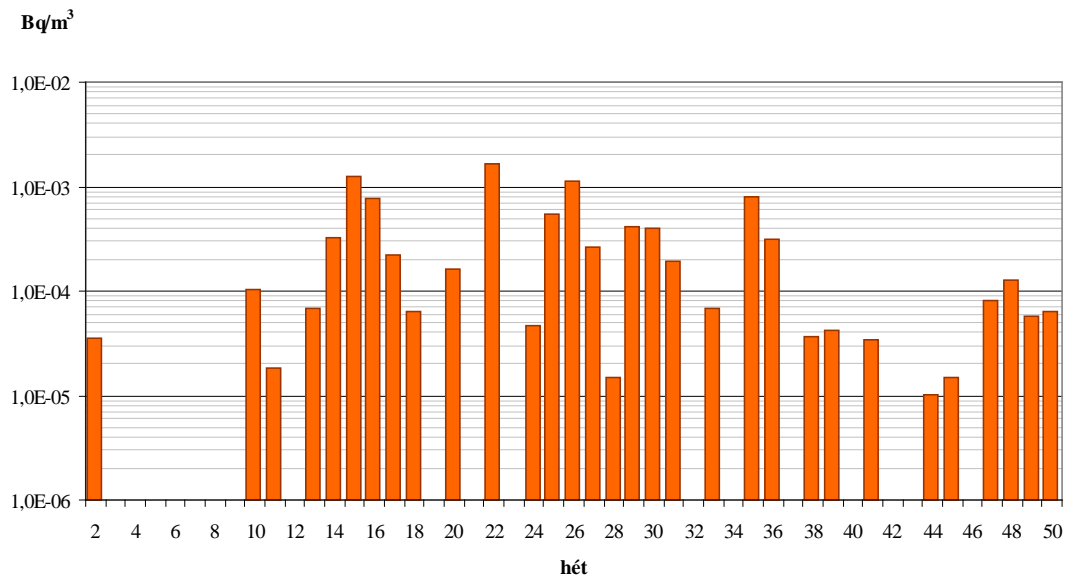


8/b ábra. A levegő  $^{131}\text{I}$  (elemi + szerves fázis) tartalma *szénszűrős nagytérfogatú* (~10.000 m<sup>3</sup>/hét) mintavételezéssel az **1. állomáson** (a kimutatási határ 20  $\mu\text{Bq}/\text{m}^3$ )

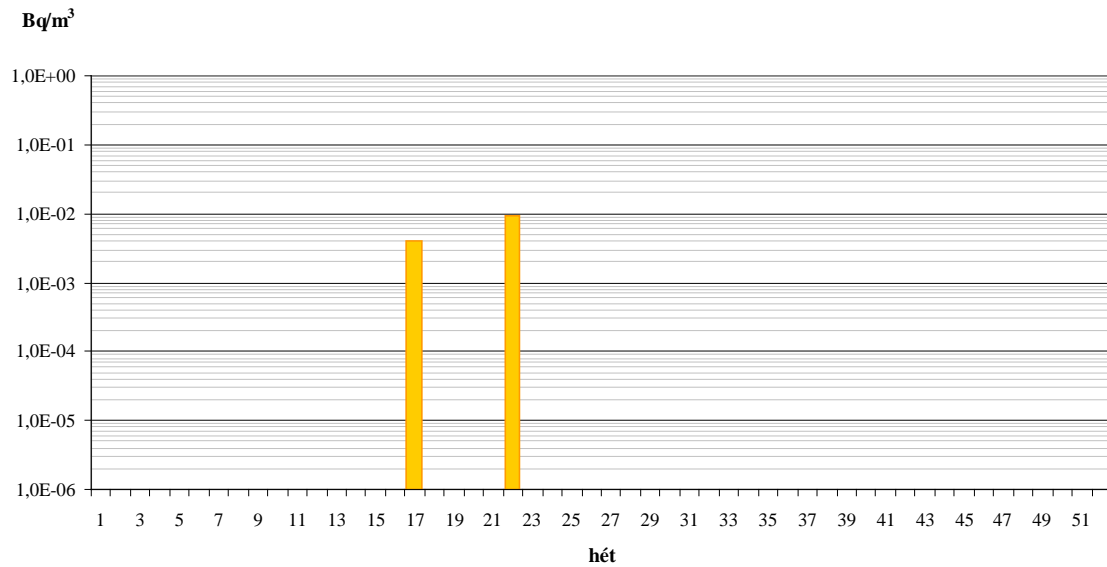




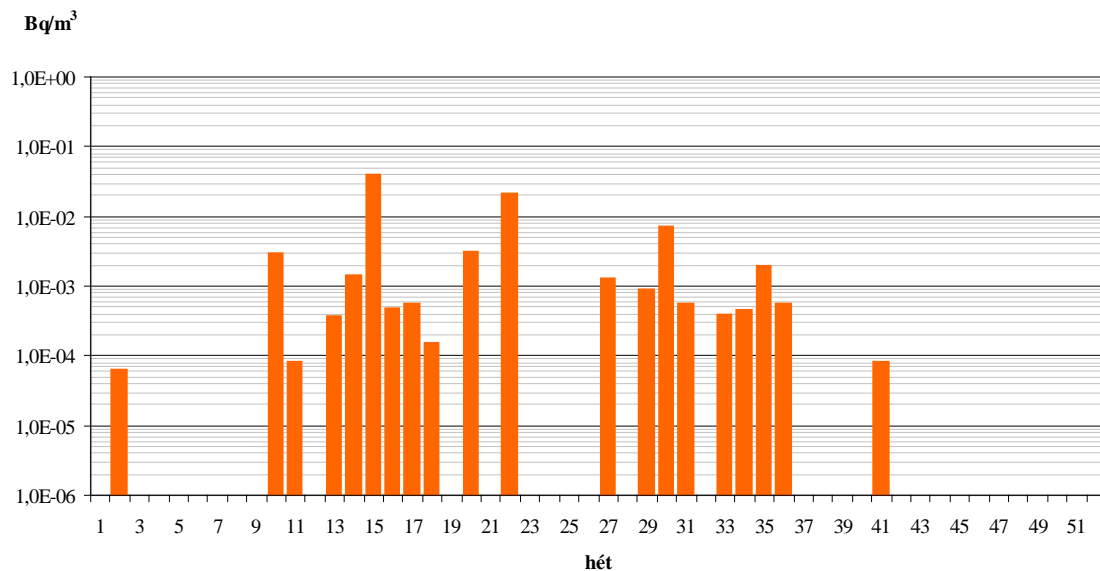
8/c ábra. A levegő  $^{125}\text{I}$  (aeroszol) tartalma *aeroszol szűrőn történő nagytérfogatú* ( $\sim 10.000 \text{ m}^3/\text{hét}$ ) mintavételezéssel az **1. állomáson** (a kimutatási határ  $15 \mu\text{Bq}/\text{m}^3$ )



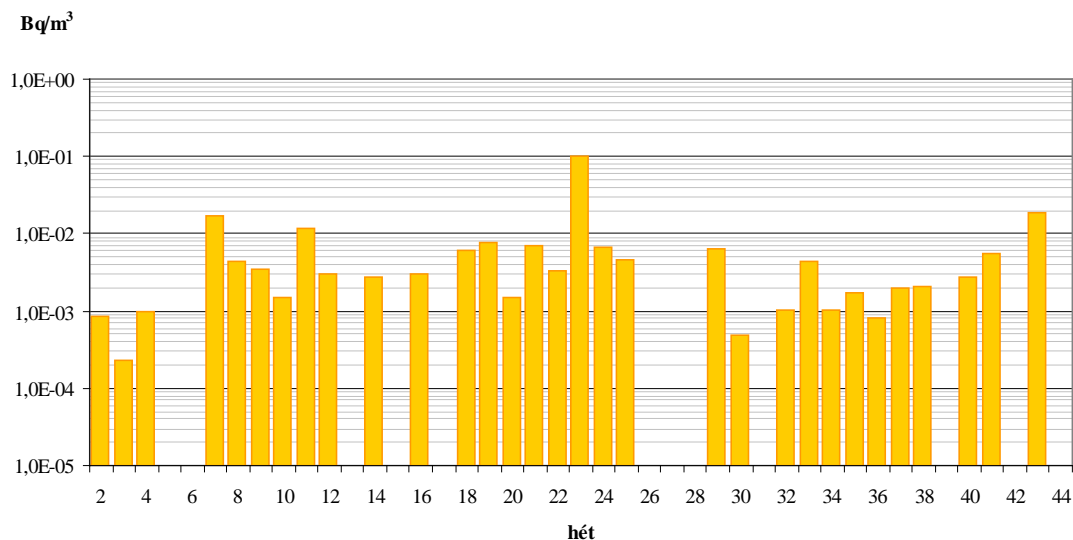
8/d ábra. A levegő  $^{131}\text{I}$  (aeroszol) tartalma *aeroszol szűrőn történő nagytérfogatú* ( $\sim 10.000 \text{ m}^3/\text{hét}$ ) mintavételezéssel az **1. állomáson** (a kimutatási határ  $10 \mu\text{Bq}/\text{m}^3$ )



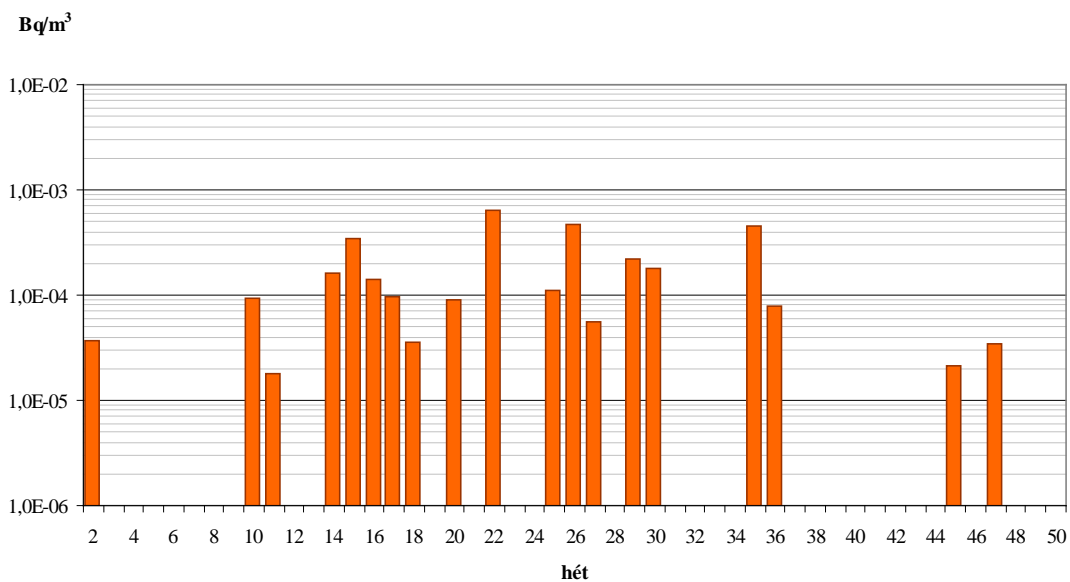
9/a ábra. A levegő  $^{125}\text{I}$  (elemi + szerves fázis) tartalma *szénszűrős nagytérfogatú* (~5.000 m<sup>3</sup>/hét) mintavételezéssel a **referencia állomáson** (a kimutatási határ 200  $\mu\text{Bq}/\text{m}^3$ )



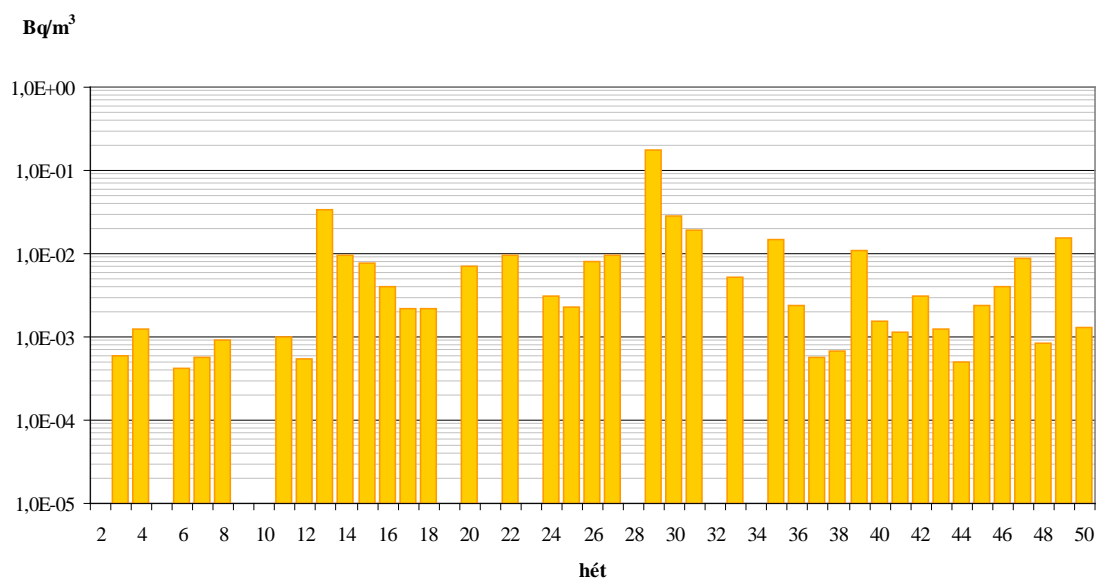
9/b ábra. A levegő  $^{131}\text{I}$  (elemi + szerves fázis) tartalma *szénszűrős nagytérfogatú* (~5.000 m<sup>3</sup>/hét) mintavételezéssel a **referencia állomáson** (a kimutatási határ 20  $\mu\text{Bq}/\text{m}^3$ )



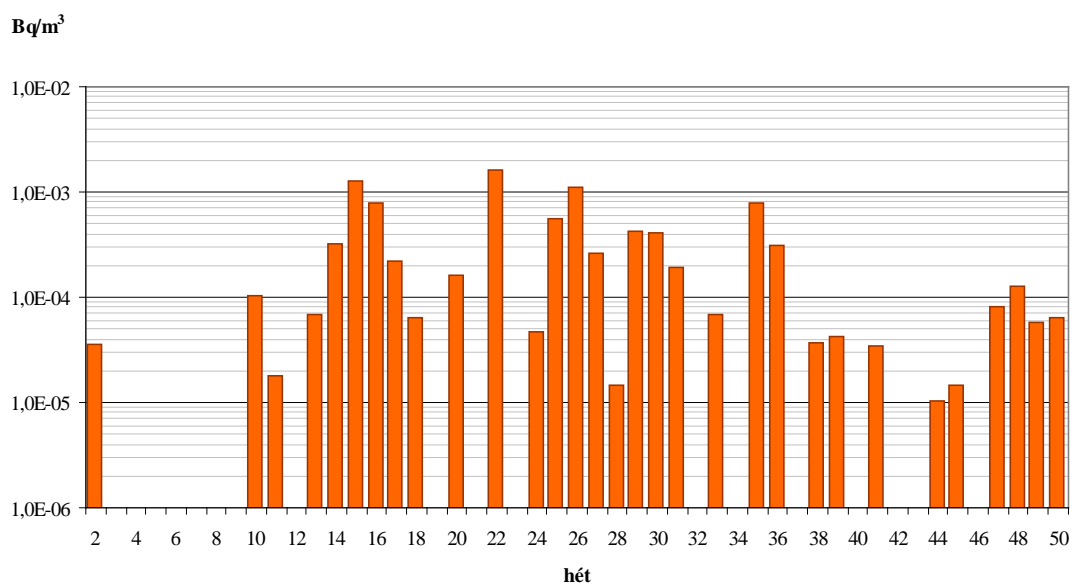
9/c ábra. A levegő  $^{125}\text{I}$  (aeroszol) tartalma *aeroszol szűrőn történő nagytérfogatú* (~5.000 m<sup>3</sup>/hét) mintavételezéssel a **referencia állomáson** (a kimutatási határ 15  $\mu\text{Bq}/\text{m}^3$ )



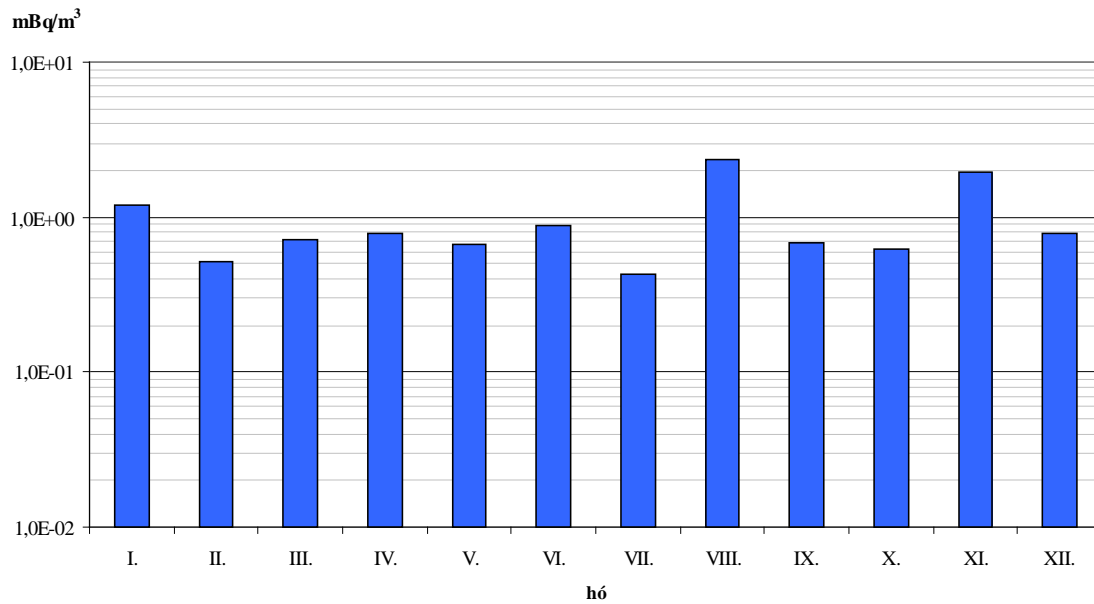
9/d ábra. A levegő  $^{131}\text{I}$  (aeroszol) tartalma *aeroszol szűrőn történő nagytérfogatú* (~5.000 m<sup>3</sup>/hét) mintavételezéssel a **referencia állomáson** (a kimutatási határ 10  $\mu\text{Bq}/\text{m}^3$ )



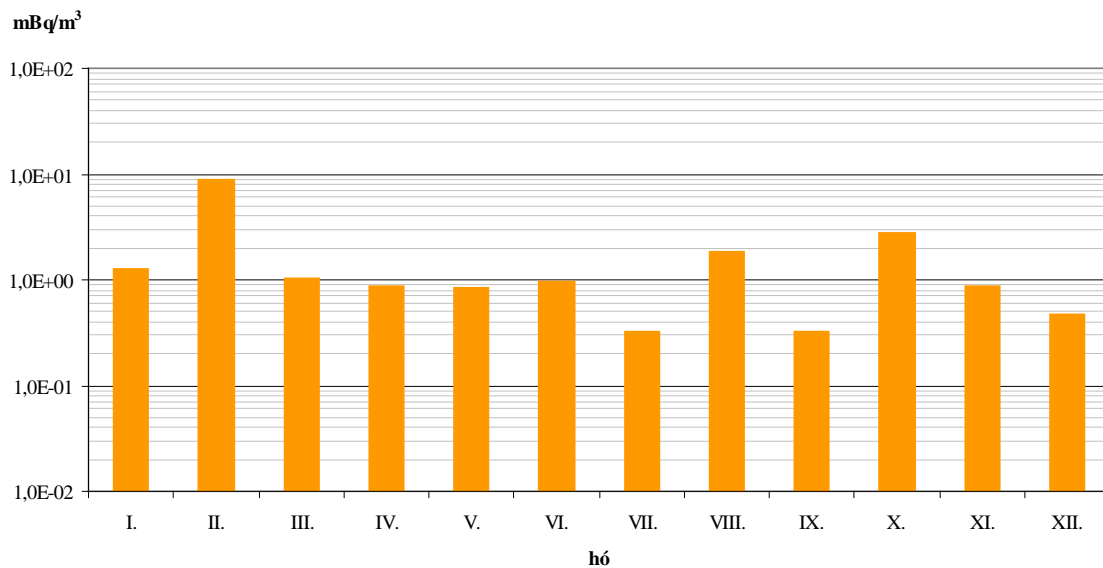
9/e ábra. A levegő  $^{125}\text{I}$  tartalma *elemi jód szűrőn történő nagytérfogatú* (~5.000 m<sup>3</sup>/hét) mintavételezéssel a **referencia állomáson** (a kimutatási határ 15  $\mu\text{Bq}/\text{m}^3$ )



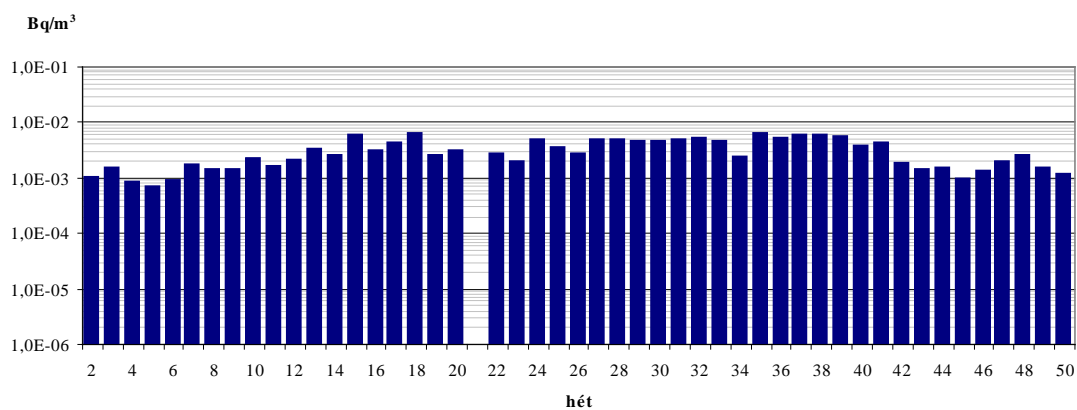
9/f ábra. A levegő  $^{131}\text{I}$  tartalma *elemi jód szűrőn történő nagytérfogatú* (~5.000 m<sup>3</sup>/hét) mintavételezéssel a **referencia állomáson** (a kimutatási határ 10  $\mu\text{Bq}/\text{m}^3$ )



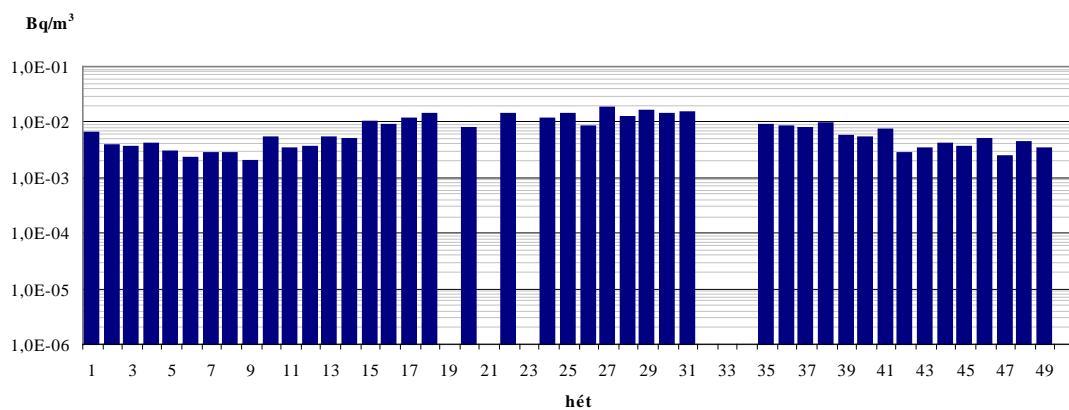
9/g ábra. A levegő radioaeroszol összbeta havi átlagos aktivitás-koncentrációja 2009-ben a referencia állomáson



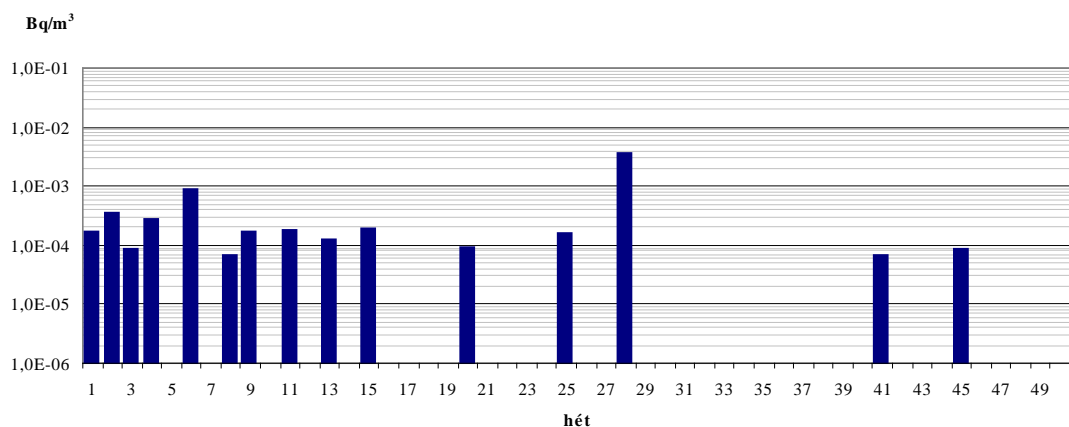
9/h ábra. A levegő radio jódgőz összbeta havi átlagos aktivitás-koncentrációja 2009-ben a referencia állomáson



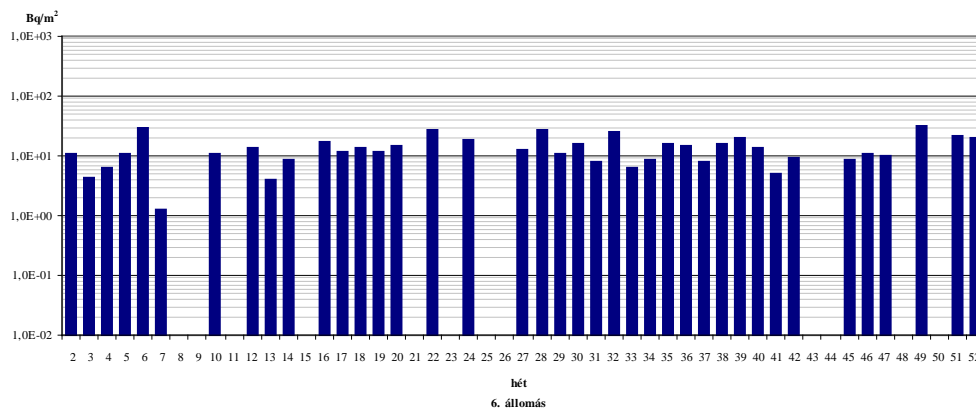
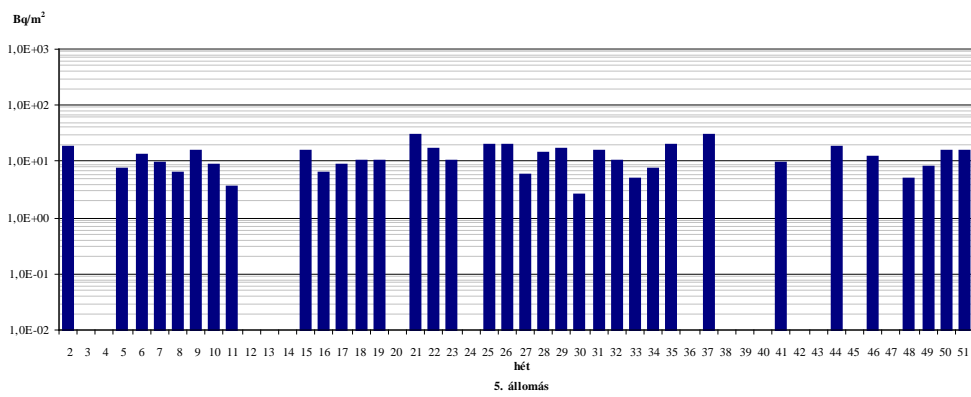
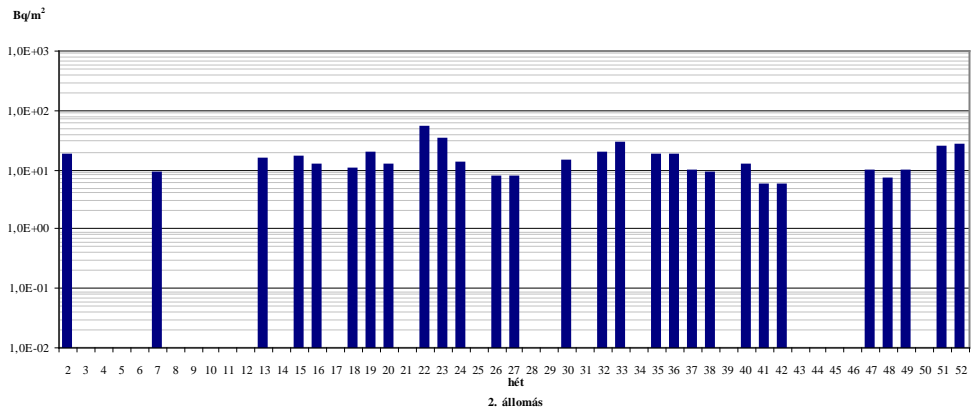
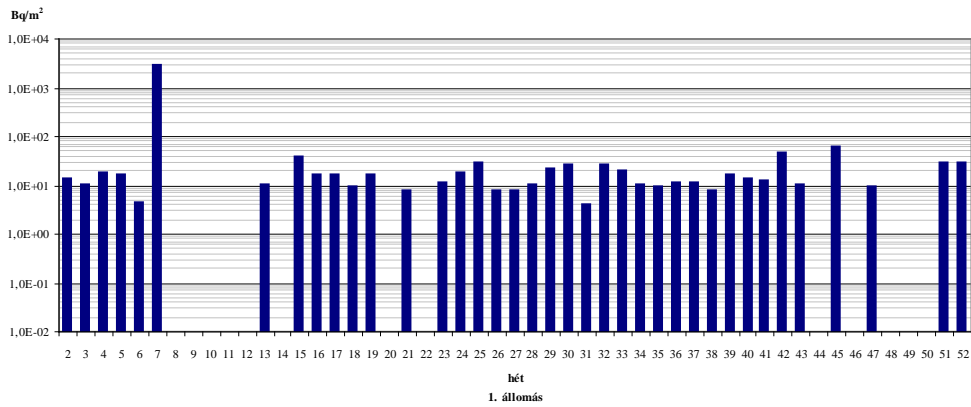
10/a ábra. A levegő  ${}^7\text{Be}$  tartalma *aeroszol szűrőn történő nagyterfogatú* ( $\sim 10.000 \text{ m}^3/\text{hét}$ ) mintavételezéssel az **1. állomáson** (a kimutatási határ  $59 \mu\text{Bq}/\text{m}^3$ ) (Világátlag:  $3\text{-}10 \text{ mBq}/\text{m}^3$ )



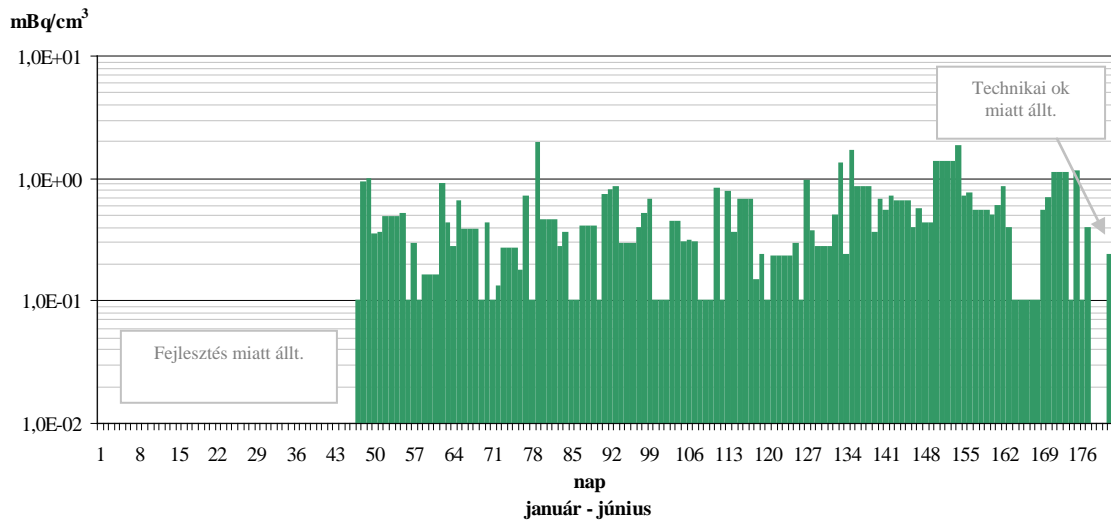
10/b ábra. A levegő  ${}^7\text{Be}$  tartalma *aeroszol szűrőn történő nagyterfogatú* ( $\sim 5.000 \text{ m}^3/\text{hét}$ ) mintavételezéssel **a referencia állomáson** (a kimutatási határ  $59 \mu\text{Bq}/\text{m}^3$ ) (Világátlag:  $3\text{-}10 \text{ mBq}/\text{m}^3$ )



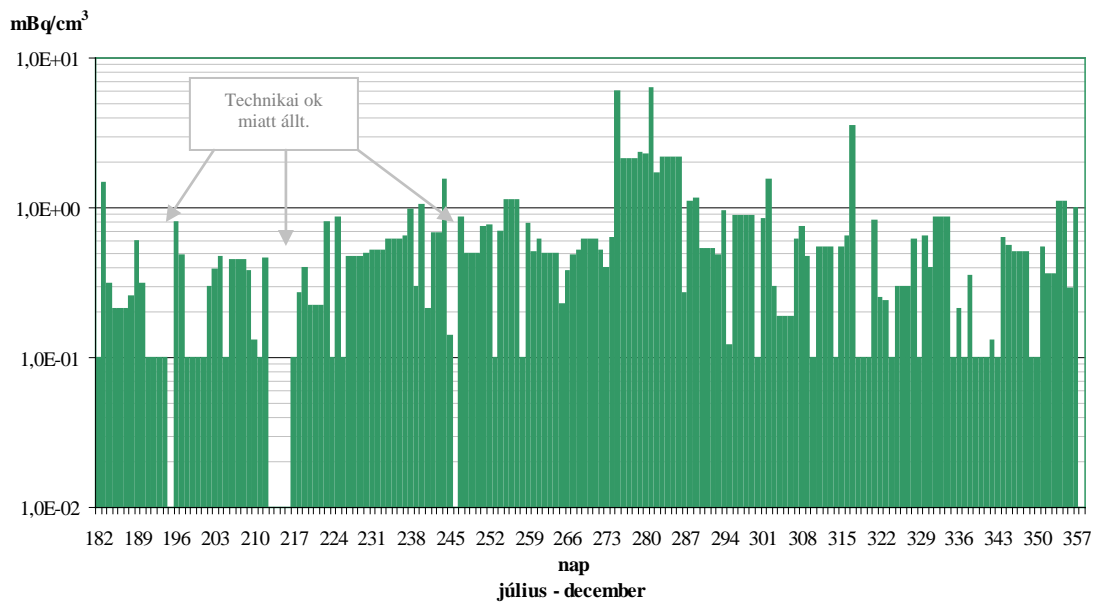
10/c ábra. A levegő  ${}^7\text{Be}$  tartalma *elemi jód szűrőn történő nagyterfogatú* ( $\sim 5.000 \text{ m}^3/\text{hét}$ ) mintavételezéssel **a referencia állomáson** (a kimutatási határ  $59 \mu\text{Bq}/\text{m}^3$ ) (Világátlag:  $3\text{-}10 \text{ mBq}/\text{m}^3$ )



11. ábra. A légköri kihullásból (Fall-out) eredő <sup>7</sup>Be az 1., 2., 5. és 6. állomáson (kimutatási határ 2,00 Bq/m<sup>2</sup>)



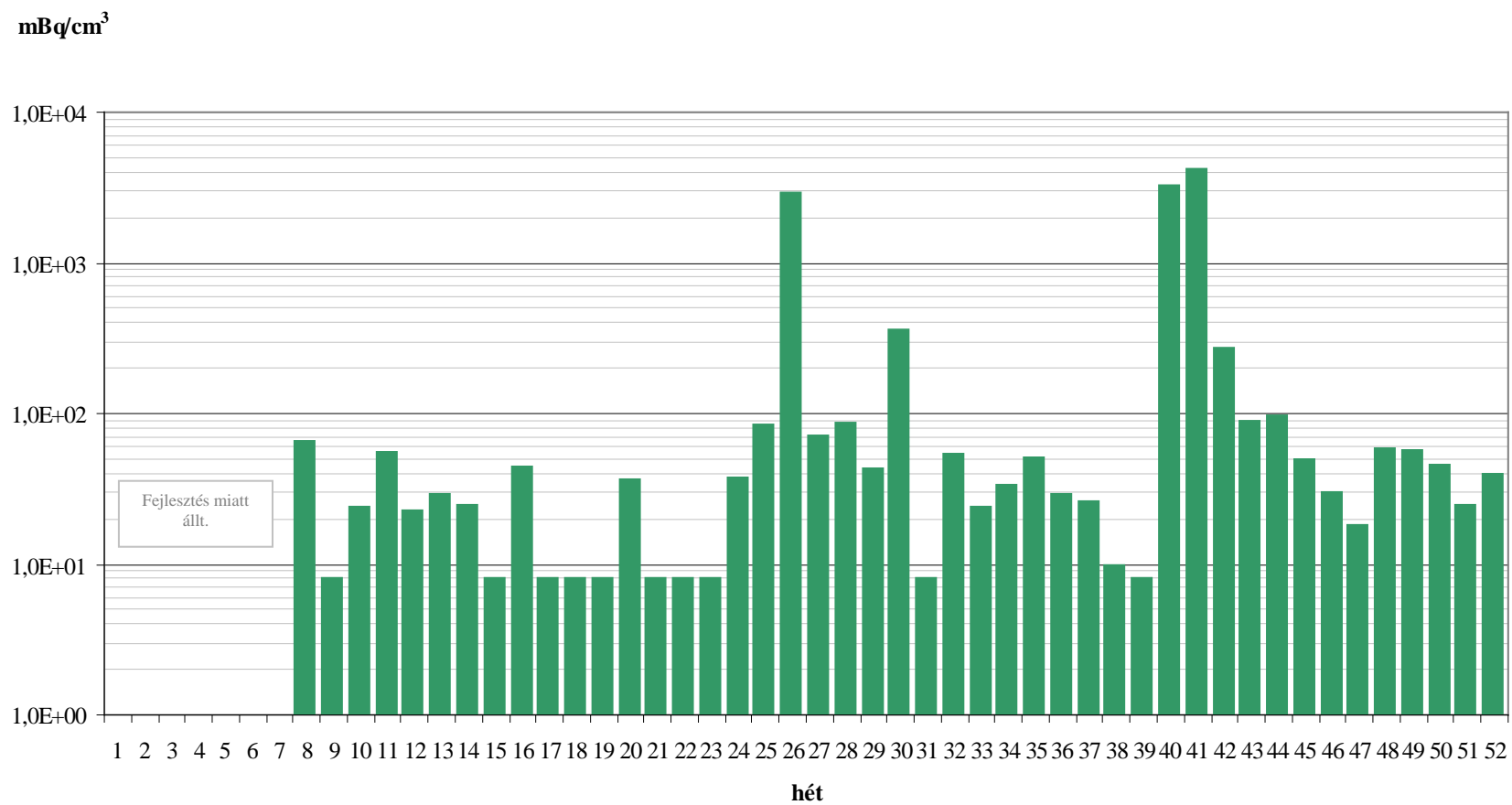
12/a ábra. A telephelyről eltávozó szennyvíz napi átlagos összbeta aktivitás-koncentrációjának alakulása (2009. I. félév, a kimutatási határ 0,1 mBq/cm<sup>3</sup>)



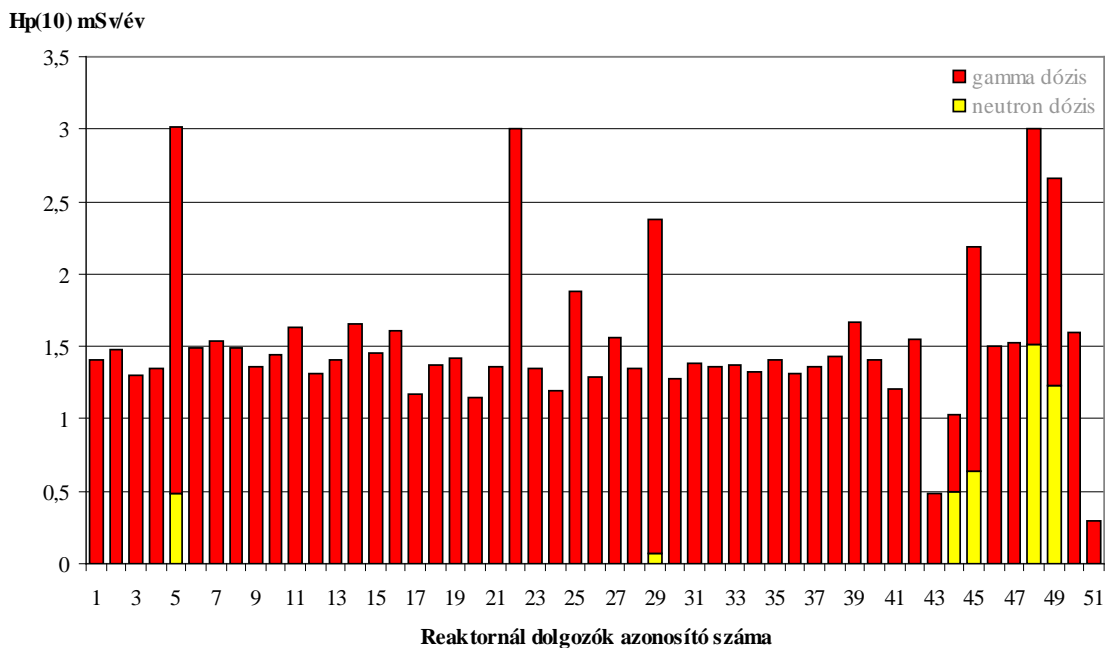
12/b ábra. A telephelyről eltávozó szennyvíz napi átlagos összbeta aktivitás-koncentrációjának alakulása (2009. II. félév, a kimutatási határ 0,1 mBq/cm<sup>3</sup>)



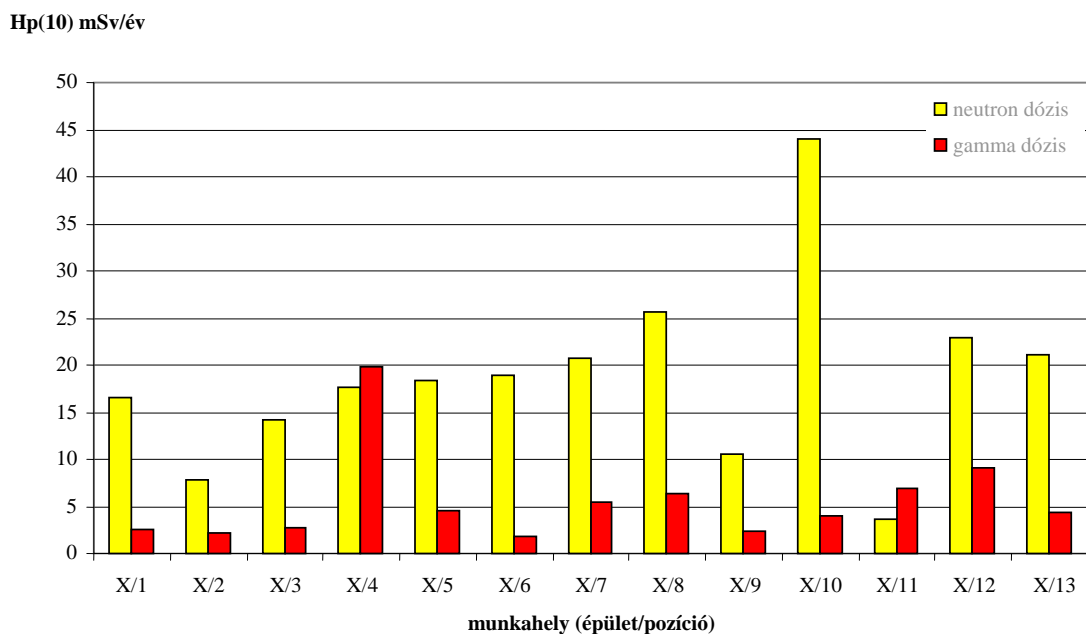
52/67



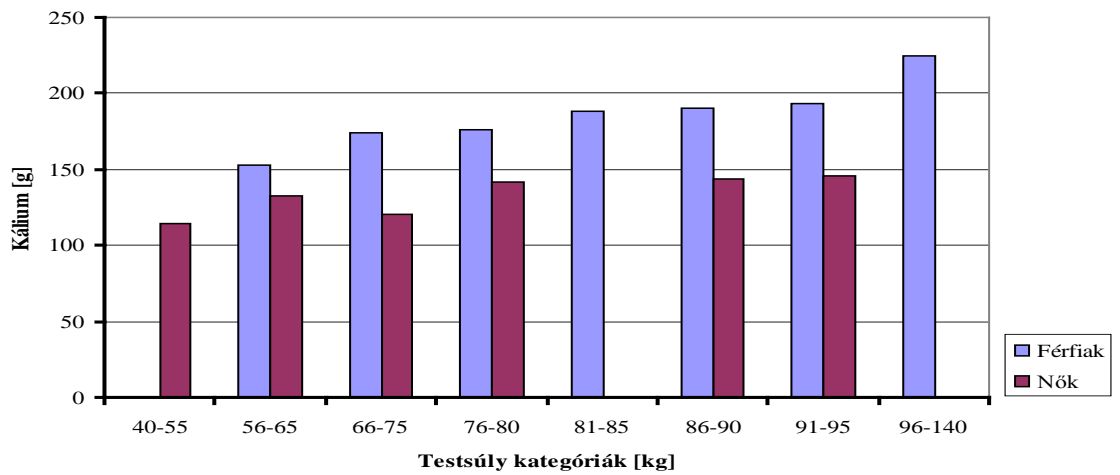
13. ábra. A telephelyről eltávozó szennyvíz trícium aktivitás-koncentrációja 2008-ben (kimutatási határ: 8 mBq/cm<sup>3</sup>)



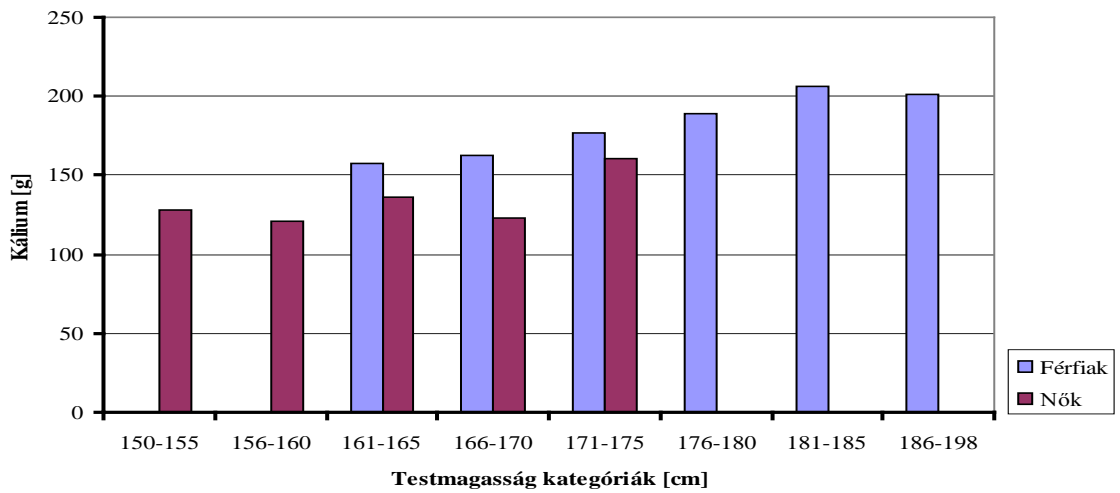
14/a ábra. Személyi TL doziméterekkel (TLD-7776/8814) mért éves dózisadatok a Reaktorüzem dolgozóinál



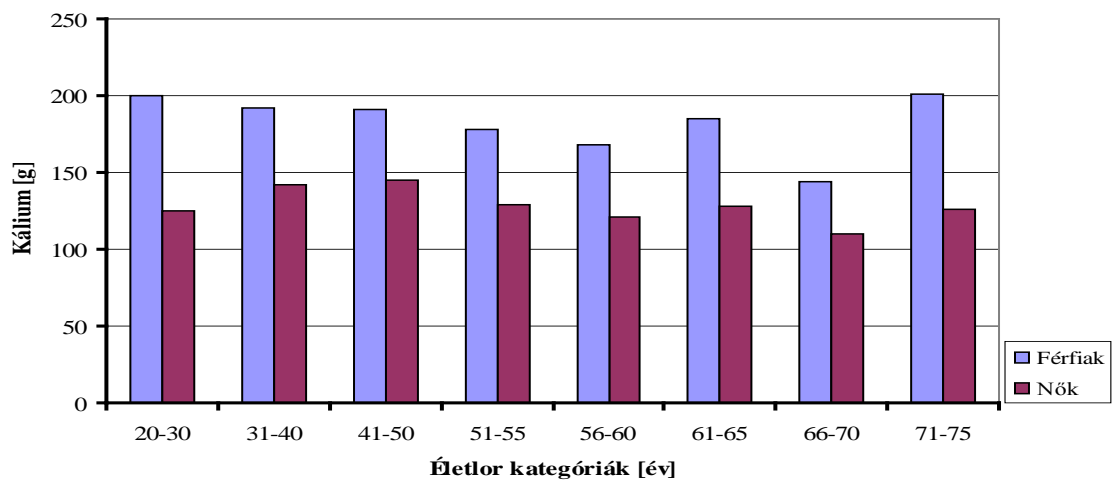
14/b ábra. Munkahelyi TL doziméterekkel (TLD-7776/8814) mért éves dózisadatok a reaktor csarnokban



15/a ábra. A kálium átlagmennyisége a testtömeg függvényében



15/b ábra. A kálium átlagmennyisége a testmagasság függvényében



15/c ábra. A kálium átlagmennyisége az életkor függvényében